気候変動が信濃川上流域・姫川流域における降雨特性に及ぼす影響の分析

国土交通省北陸地方整備局松本砂防事務所 石尾浩市^{※1}、小口貴雄、渕別光^{※2}、輪湖知治株式会社ニュージェック ○藤田暁、石塚忠範、杉本利英、中山彰人 ※1現 国土交通省関東地方整備局富士川砂防事務所 ^{※2}現 国土交通省北陸地方整備局河川部

1. はじめに

信濃川上流域・姫川流域は、歴史的に大規模な深層崩壊が多く起きてきた地域であり、今後、気候変動に伴い降水量が増加した場合、深層崩壊の危険性が高まることが懸念される。本稿では、気候変動予測モデルにより計算され公開されているアンサンブル気候予測データを用い、気温が現在より 2° Cまたは 4° C上昇した場合に、信濃川上流域・姫川流域の雨の降り方がどのように変化するかについて分析した。具体的には、土砂災害警戒情報の発表に用いられているスネークラインをアンサンブル気候予測データ(過去実験・ 2° C上昇・ 4° C上昇)の雨量で計算し、そのスネークラインの形状を分析した。スネー

クラインの形状と土砂移動現象の種類については、**図-1**のような関係があるとされ¹⁾、特に、深層崩壊の危険性の高い②や③の領域への到達頻度が地域毎にどのようになるかについて着目した。

2. アンサンブル気候予測データ

地球温暖化への適応策を検討するための基礎データとして、気候変動予測モデルによる種々の気候予測データが整備されている。その代表的なものとして、2016年から公開が開始されたd4PDFが挙げられ、そのd4PDFの空間解像度を約20kmから約5kmにまでダウンスケールした「全国5kmメッシュアンサンブル気候予測データ($d4PDF_5$ km $DDS_JP)」も、<math>2023$ 年から公開が開始された20。本稿では、この $d4PDF_5$ km $DDS_JPデータを基に分析を行う。<math>d4PDF_5$ km $DDS_JPで$ 4を基に分析を行う。 $d4PDF_5$ km $DDS_JPで$ 4の1時間毎降水量データがある。

1 3 ① 単発土石流の領域2 深層崩壊の領域2 深層崩壊の領域3 同時多発表層崩壊、 土砂・洪水氾濫の領域

図-1 スネークラインの到達領域と土砂移動現象の関係

表-1 d4PDF 5kmDDS JPの計算ケース、データ年数等

1X 1 U	י וט_טטטטוווווט _ וט ווי		人干级 寸
計算ケース	データの年数	格子サイズ、範囲等	データ内容
過去実験	61年のアンサンブ	格子サイズ:約5km,	毎時降水量,
	ルメンバーが12個	範囲:日本周辺域,	他各種気象
	→ 計732年	格子数:550×755	要素
2℃上昇	61年のアンサンブ	格子サイズ:約5km,	毎時降水量,
	ルメンバーが12個	範囲:日本周辺域,	他各種気象
	→ 計732年	格子数:550×755	要素
4℃上昇	61年のアンサンブ	格子サイズ:約5km,	毎時降水量,
	ルメンバーが12個	範囲:日本周辺域	他各種気象
	→ 計732年	格子数:550×755	要素

3. 気候予測データのバイアス補正

一般に、気候予測データは、特定の地点の雨量が実際の気象に比べ大きく(あるいは小さく)なりやすいといった系統的な誤差特性(バイアス)を持っている。このため本稿では、スネークラインの計算に先立ち、5kmメッシュ毎に降水量データ(1時間毎)のバイアス補正を行った。バイアス補正は、渡部ら3のDual-Window補正の手法を用い、補正の際に参照する実績雨量データとして気象庁の解析雨量データ(1989~2023年の35年分)を用いた。ただし解析雨量データは、山間部等において実際の雨量より過少となっている場合があるため、対象流域周辺の雨量観測所地点毎に、雨量観測所の雨量と解析雨量の値を比較し、解析雨量が雨量観測所の雨量より小さくなっている期間については、解析雨量データの補正を行った。

4. スネークラインの分析

バイアス補正した気候予測デー タを5km→1kmメッシュに変換 し、過去実験、2℃上昇、4℃上昇 それぞれ732年分のスネークライ ンを計算した。732年の間にスネ ークラインが到達した点をプロッ トしたものを図-2に示す。スネー クラインの到達点は、降雨中、土 壌雨量指数が最大となった時刻か その直前で1時間雨量が極大とな っている点とした。図-2の過去実 験の図には実績(解析雨量35年分) のスネークラインの到達点も合わ せて示す。実績に比べ過去実験は 年数が多いため遠くまでプロット が分布しており、また、過去実験 →2℃上昇→4℃上昇となるに従 い各地点ともプロットが縦軸・横 軸両方向に遠くまで拡がっている。

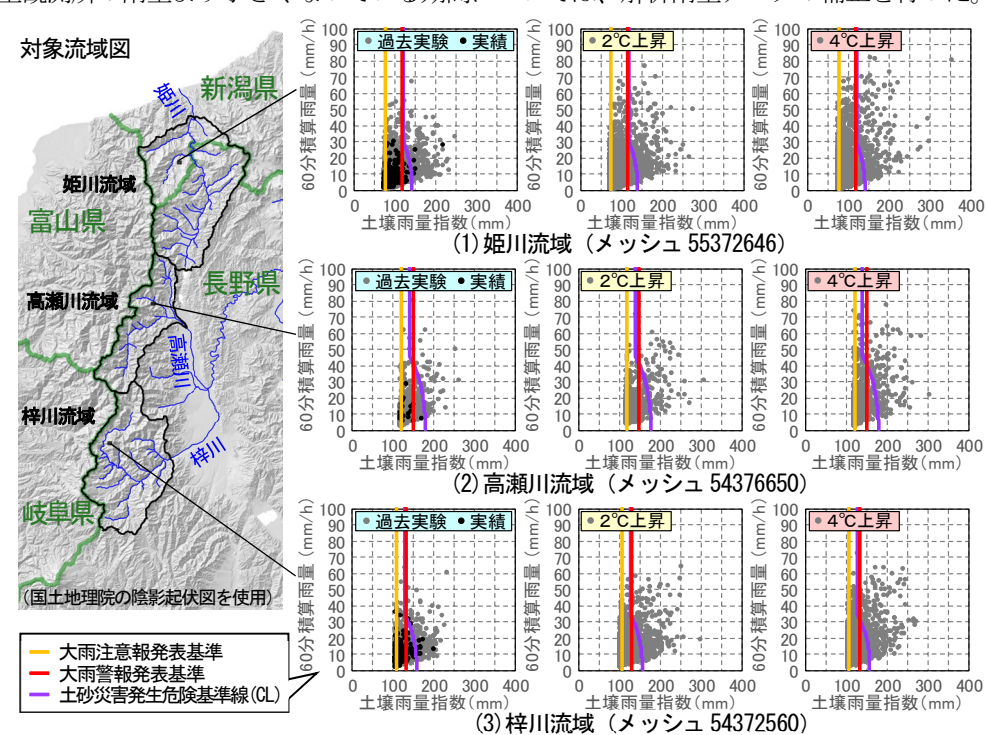


図-2 代表地点における気候予測データによるスネークラインの到達点のプロット

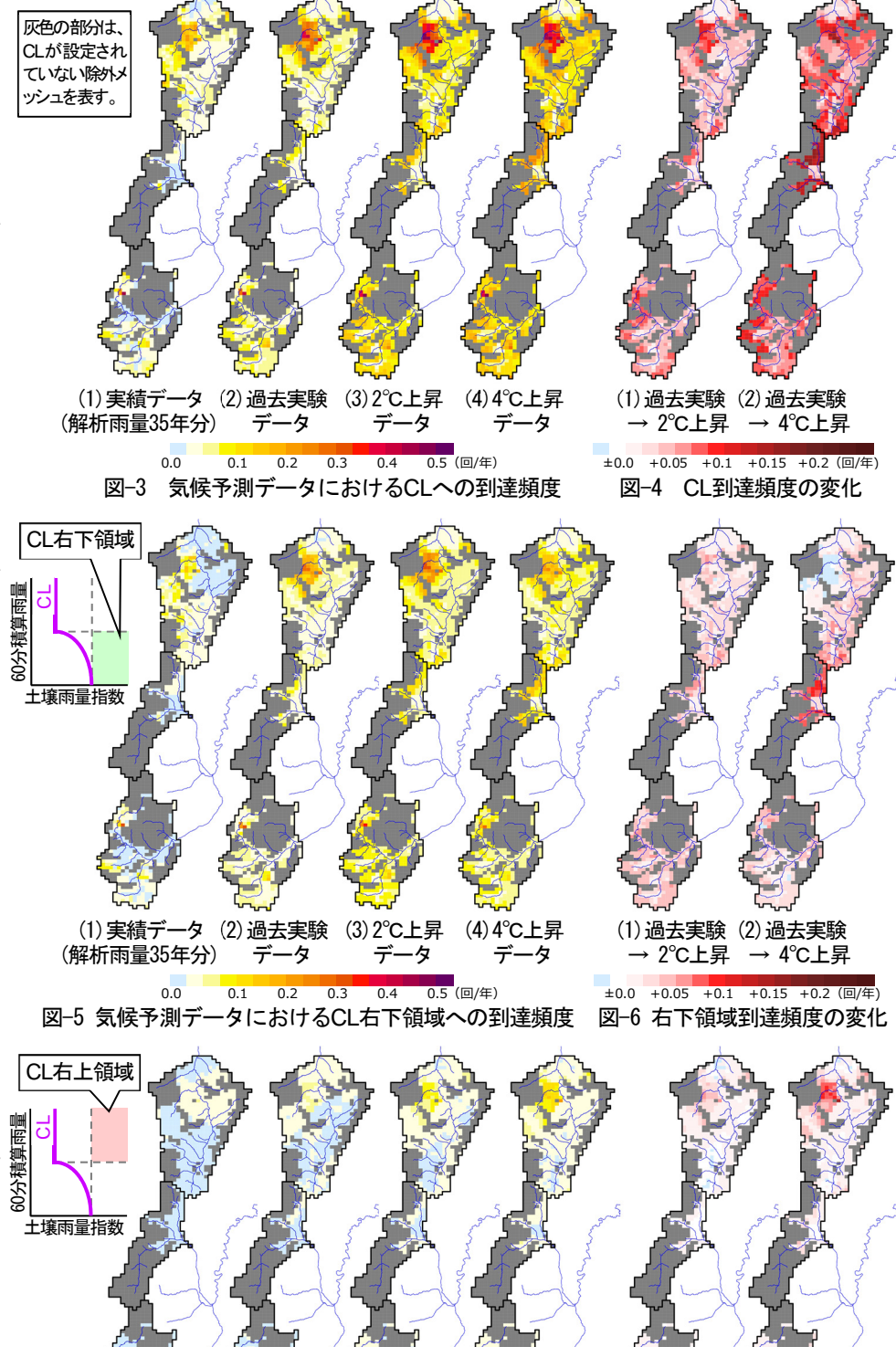
図-3に、1kmメッシュ毎にCL への到達頻度をカウントし、分布 図にしたものを示す。また、過去 実験と2℃・4℃上昇を比較したも のを図-4に示す。図-3で(1)実績 データは頻度ゼロのメッシュが あるが(2)過去実験はそれが無く、 やや頻度が高い。また、過去実験 と2℃・4℃上昇を比較すると、地 域差はあるが、ほぼ流域全体にわ たってCLへの到達頻度が増加し ていることが分かる。

図-5,7は、CLを基準にして、深 層崩壊の危険の高い右下領域、お よび、土砂・洪水氾濫等の危険の 高い右上領域を設定し、それらへ の到達頻度を分布図にした。また、 その過去実験と2℃・4℃上昇の比 較を図-6,8に示す。右下領域への 到達 (図-5,6) は、2℃・4℃上昇 で概ね流域全体にわたって増加 しており、すなわち、流域全体で 深層崩壊の危険性が高まってい る。また、右上領域への到達(図 -7,8) も、流域全体にわたって増 加し、特に、過去実験は到達ゼロ の領域も多いが、2℃・4℃上昇で はそれが減少し、土砂・洪水氾濫 の危険性が高まることが分かる。

5. おわりに

5kmメッシュのアンサンブル 気候予測データを基に、土砂災害 の危険性の地域的な分布の変化 について分析し、地域差はあるが、 ほぼ流域全体にわたり危険度が 増加することが明らかとなった。 しかし、バイアス補正後の過去実 験による図と実績データの図に 若干の差が見られ、バイアス補正 のしかたについて検討の余地が あると思われる。

謝辞:本稿では、文部科学省気候 変動予測先端研究プログラムの もと、地球シミュレータを用いて d4-PDFを全国5kmメッシュで力 学的ダウンスケールしたデータを



(1)実績デ--タ (2)過去実験 (3)2℃上昇 (4)4℃上昇 (1)過去実験(2)過去実験 → 2°C上昇 → 4°C上昇 (解析雨量35年分) データ 0.1 0.2 0.3 0.4 0.5 (回/年) ±0.0 +0.05 +0.1 +0.15 +0.2 (回/年

図-7 気候予測データにおけるCL右上領域への到達頻度 図-8 右上領域到達頻度の変化

使用した。またこのデータセットは、文部科学省の補助事業により開発・運用されているデータ統合解析システム(DIAS) の下で収集・提供されたものである。データの整備、提供についてここに記して感謝の意を表します。

参考文献: 1) 国土交通省 気候変動を踏まえた砂防技術検討会(2023):第8回検討会 資料2 2) Kawase et al.(2023):Identifying robust changes of extreme precipitation in Japan from large ensemble 5-km-grid regional experiments for 4K warming scenario. Journal of Geophysical Research, JGR-Atmosphere, https://doi.org/10.1029/2023JD038513 3) 渡部哲史・中村みゆき・内海信幸(2018): アメダス観測点を対象としたd4PDFバイアス補正降水量データセットの開発、土木学会論文集B1(水工学Vol.74, No.5, L127-L132